

بررسی جای‌گیری و جهت حرکت توده گرانیت گلپایگان با استفاده از روش ناهمسانگردی پذیرفتاری مغناطیسی

سodeh Mirezaii Hajgolou^۱, Hbib Ullymehdiyan^۲ و Mhsen Ovissi Monher^{۳*}

۱. دانش آموخته کارشناسی ارشد، گروه زئوفیزیک، واحد علوم و تحقیقات، دانشگاه آزاد اسلامی، تهران، ایران

۲. دکتری زئوفیزیک، سازمان زمین‌شناسی و اکتشافات معدنی کشور، تهران، ایران

۳. استادیار، گروه فیزیک، دانشگاه رازی، کرمانشاه، ایران

(دریافت: ۹۶/۱۰/۲۷، پذیرش نهایی: ۹۷/۱۰/۱۱)

چکیده

توده گرانیت گلپایگان واقع در بخش شمالی شهر گلپایگان متعلق به زون ساختاری سنتندج-سیرجان دارای سن مطلق پالتوسن بوده که داخل شیسته‌های دگرگون شده منسوب به دوره پالئوزوئیک نفوذ کرده است. این توده شامل توده‌های بازالتی، توف‌های پورفیری و سنگ‌های ولکانیکی کاتانکلاستیکی است. در این مقاله نحوه شارش و جای‌گیری توده گلپایگان بهروش ناهمسانگردی پذیرفتاری مغناطیسی مورد مطالعه قرار گرفته است. بر اساس جهت‌های به خط‌شدنگی، منطقه به دو قسمت، قابل تقسیم می‌باشد که تداعی کننده جای‌گیری قارچی شکل توده در دو مرحله می‌باشد. در مرحله اول، توده اصلی به صورت قارچی شکل به سمت بالا صعود کرده و احتمالاً به درون آن در مرحله بعدی توده قارچی شکل دیگری تزریق شده است. جهت‌های حاشیه‌ای این توده نشان دهنده روندهای شمال غرب-جنوب شرق و شمال شرق-جنوب غرب بوده و در قسمت مرکزی جهت‌ها دارای روند شرقی-غربی می‌باشند. بنابراین بر اساس تفسیر کل جهت‌های ناهمسانگردی در پذیرفتاری مغناطیسی توده فوق، وجود گسلی با روند تقریبی شمالی-جنوبی در قسمت مرکزی محتمل می‌باشد. نتایج و تفسیر مطالعات سنگ‌شناختی، تأیید دیگری بر وجود گسلی با روند تقریبی شمالی-جنوبی در مرکز توده گلپایگان است. وجود گسل‌ها و نفوذ توده آذرین در تشکیلات قدیمی‌تر در محل مطالعه توسط محققین دیگر هم گزارش شده است. این مطالعه نشان می‌دهد که شدت ناهمسانگردی مغناطیسی در بخش غربی گسل از شدت بیشتری نسبت به شرق آن برخوردار است. دمای کوری نمونه‌ها نشان می‌دهد که مگنتیت و هماینی کانی‌های اصلی حاملین مغناطیسی توده گلپایگان می‌باشند.

واژه‌های کلیدی: ناهمسانگردی پذیرفتاری مغناطیسی، گرانیت، به خط شدنگی، گسل.

۱. مقدمه

مانع ارائه نتایج در حجم وسیع و دقیق می‌شود. به علت مشکلات فوق، در سال ۱۹۹۷ روش جدیدی توسط بوچز (Bochez، ۱۹۷۷) به نام روش ناهمسانگردی پذیرفتاری Magnetoanisotropy (AMS) ارائه شد که بر مبنای تعیین پارامترهای مغناطیسی (Magnetic Fabric) می‌باشد. پارامترهای حاصل از روش فوق الذکر، مبنی بر رفتار مغناطیسی کانی‌های مغناطیسی هستند. این پارامترها برای تشخیص نوع کانی‌های مغناطیسی و ویژگی‌های آنها بسیار مفید هستند. همچنین با بهره‌گیری از نتایج اندازه‌گیری پذیرفتاری مغناطیسی نمونه‌ها و محاسبه پارامترهایی که در بخش‌های آتی به

اندازه‌گیری فابریک ماگمایی، ابتدا توسط روش‌های سنتی (مولیر و بوچز، ۱۹۸۲) صورت گرفته است. اندازه‌گیری‌های فابریک ماگمایی بر روش سنتی، معمولاً بر پایه مشاهدات و اندازه‌گیری‌های صحرایی عناصر ساختاری از جمله خط‌وارگی (Lineation) و برگ‌وارگی (Foliation) ماگمایی استوار است.

نبوت رخنمون واضحی از سنگ‌ها در کل منطقه مورد مطالعه برای اندازه‌گیری فابریک سنگ‌ها، همگن بودن توده، عدم وجود کانی‌های جهت‌دار و کشیده مثل بیوتیت و هورنبلند در برخی از سنگ‌ها، وقت‌گیر و زیاد بودن مراحل اندازه‌گیری از جمله معایب این روش هستند که

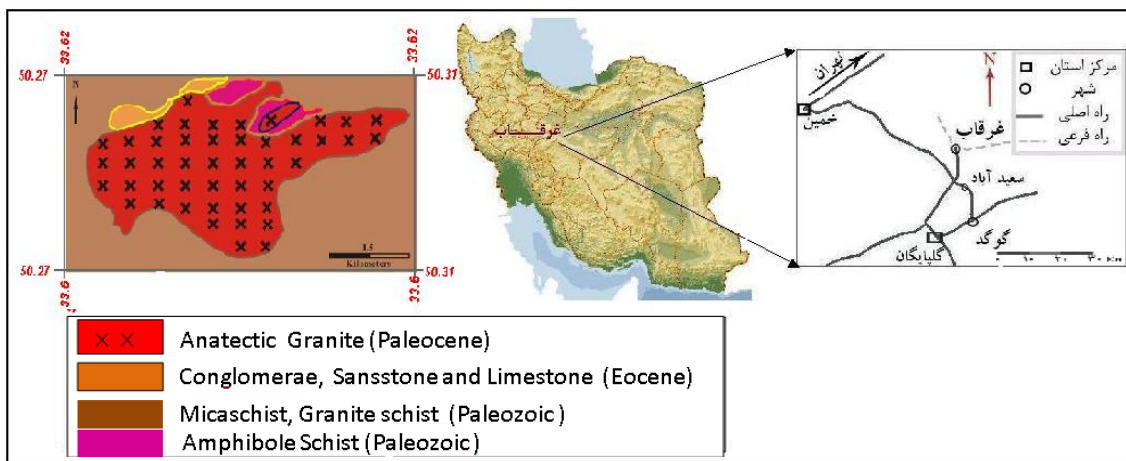
۲. اطلاعات جغرافیایی و زمین‌شناسی توده گرانیتوئیدی گلپایگان

توده گلپایگان در ۲۳ کیلومتری شمال شرقی گلپایگان واقع شده است. توده گرانیتی گلپایگان در کیلومتر ۱۹ مسیر گلپایگان-خمین از طریق جاده فرعی روستای سعیدآباد قابل دسترسی است (شکل ۱).

این توده در داخل شیسته‌های منسوب به پرکامبرین نفوذ کرده و گرمای بالای این توده باعث هورنفلسی شدن شیسته‌های اطراف شده است (شکل ۱). وجود کانی‌های شاخص سیلیمانیت (Seligmannite)، نشان دهنده دمای بالا در سنگ‌های اطراف این توده است. در بخش‌هایی، گرانیت دارای بلورهای درشت و دگریخت (Deformed) شده است. کانی‌های بارز توده گرانیت گلپایگان عبارتند از: کوارتز، پلاتزیوکلاز اسیدی (Acidic Plagioclase) تا متوسط (الیگوکلاز-آنذزین) (Andesine-Oligoclase) و بلورهای بی‌شکل اورتوکلاز (orthoclase) که گاه پرتیتی (Perthitic) شده‌اند.

بلورهای فلدسپات موجود در گرانیت به‌طور کلی درشت بوده و اندازه برخی از آنها گاهی بزرگتر از ۳ میلی‌متر است. کانی‌های میکائیتی توده، شامل تیغه‌های بیوتیت (Biotite) و مسکویت (Muscovite) و سریست (Sericite) هستند. در نمونه دیگری از این گرانیت‌ها، دگریختی به‌شکل توسعه برگوارگی (Foliation) دیده می‌شود. بافت گرانیت، پورفیروblastیک (Porphyroplastic) و گرانوبلاستیک و گاهی دارای جهت‌یافتگی است. کانی‌های مافیک، بیوتیت و آمفیبول (Amphibole) به‌همراه بلورهای گرونا (Grona) در زمینه سنگ وجود دارند. سن مطلق این توده گرانیتی با روش پتاویم آرگون بر روی کانی بیوتیت و سنگ کل به ترتیب ۵۷ میلیون سال، یعنی پالتوسن پایانی است (رشیدنژاد و همکاران، ۲۰۰۲).

آنها اشاره خواهد شد، می‌توان به اطلاعات ارزشمندی در مورد سازوکار جایگزینی توده‌های نفوذی نیز دست یافت (صادقیان و همکاران، ۲۰۰۵). در ارتباط با استفاده از روش ناهمسانگردی در پذیرفتاری مغناطیسی در تعیین نحوه جایگیری توده‌های آذرین و تعیین منبع آنها، تحقیقات زیادی در جهان صورت گرفته است که به دو نمونه از آنها اشاره می‌شود. (گیماراس و دیگران، ۲۰۱۸) جهت تعیین چگونگی جایگیری سنگ‌های آذرین سیلیسی ناحیه پارانا و اتندا کا در برزیل از روش AMS استفاده کرده و به این نتیجه رسیده‌اند که این سنگ‌ها در جا تشکیل شده و از نقاط دیگر به محل فعلی جایه‌جا نشده‌اند. پارامترهای مورد استفاده آنها، میزان برگوارگی (Foliation)، درجه ناهمسانگردی و پارامتر شکل می‌باشد. آنها برای تعیین نوع و پایداری دانه‌های فرومغناطیسی، از آزمایش‌های ترمومغناطیسی (Thermomagnetic experiment) آزمایش حلقه پسماند (Hysteresis loop) استفاده کرده‌اند. تأکید محققین فوق بر استفاده از K_{\max} (بیشینه پذیرفتاری مغناطیسی) می‌باشد. همچین اسکیتا و دیگران (اسکیتا و همکاران، ۲۰۱۰) از روش AMS به‌منظور بررسی مناطق دگرگون شده (Deformation zones) و چگونگی تکامل و جایگیری (district Skellefte) توده‌های آذرین در ناحیه شلفته در کشور سوئد استفاده کرده‌اند. در این تحقیق، آنها از پارامترهای درجه ناهمسانگردی، پارامتر شکل و K_{\max} جهت بررسی وضعیت تکتونیکی، جایگیری توده‌ها و چگونگی دگرگونی آنها بهره گرفته‌اند. در این مقاله با استفاده از روش AMS، منطقه‌ای در شمال شرق شهر گلپایگان مورد بررسی قرار گرفته است. هدف از این مطالعه بررسی نحوه چگونگی جایگیری توده گرانیتی واقع در منطقه با استفاده از روش فوق می‌باشد.



شکل ۱. نقشه دسترسی به توده گرانیتی (اطلس راههای ایران، ۱۳۸۹) بهمراه نقشه زمین‌شناسی (ساده شده از نقشه ۱/۱۰۰۰۰ محلات، سازمان زمین‌شناسی کشور، ۱۳۸۴).

میلونیتی، گرانیت دو میکا آهن‌دار شده، گرانیت پرفیری کمی تکتونیزه، گرانیت تورمالین‌دار (Tourmaline) و گرانیت پورفیری کمی دگریخت شده است. روی‌هم‌رفه بافت این سنگ‌ها پورفیری، هتروگرانولار (Microgranular)، گرانولار (Heterogranular) یا میکروگرانولار (Microgranular)، گرافیکی، گرانولار و کاتاکلاستیک با زمینه ساروجی است. کانی‌های ثانویه تشکیل‌دهنده این توده گرانیتی عبارتند از: مسکویت، کانی رسی، سریسیت، اکسید آهن، کلریت و لوکوکسن. همچنین کانی‌های کدر، آپاتیت (Apatite) از جمله کانی‌های فرعی این توده هستند. این توده گرانیتی در حواشی و همبری خود با سنگ میزان دچار دگریختی شده است. گاهی دگریختی تا ایجاد پنهانهای برشی پیش رفته است. با توجه به بررسی‌های پیشین، مشابه این توده گرانیتوئیدی در مناطق دیگر موتهم گلپایگان نیز دیده می‌شود که گاهی دارای حواشی بهشدت میلونیتی شده است. این ویژگی نشان می‌دهد که نفوذ گرانیت هم‌زمان با زمین‌ساخت انجام شده است. از مطالعات انجام گرفته بر روی مقاطع نازک و مطالعات ناهمسانگردی مغناطیسی منطقه می‌توان نتیجه گرفت که به‌احتمال قوی در این محل یک زون گسلی وجود دارد. مشاهدات صحرایی نشان می‌دهد که محل مطالعه با یک پهنه گسلی تطابق دارد.

۳. بررسی مقاطع

به‌منظور مطالعه پارامترهای مغناطیسی توده گرانیتوئیدی گلپایگان، مغزه گیری با دستگاه قابل حمل مغزه گیر انجام گرفت. در این مطالعه ۱۷۱ مغزه به طول ۱۰ سانتی‌متر و قطر ۲/۵ سانتی‌متر از ۲۵ سایت تهیه شد. سپس نمونه‌هایی به طول ۲۲ میلی‌متر از نمونه اصلی در آزمایشگاه محیط و دیرینه مغناطیسی سازمان زمین‌شناسی و اکتشافات معدنی تهیه شد. از مانده‌های قطعات شکسته شده به عنوان نمونه پودری برای آزمایش تعیین دمای کوری کانی‌های مغناطیسی استفاده شده است. به‌منظور انجام مطالعات پتروگرافی و کانی‌شناسی توده گرانیتی گلپایگان، برداشت نمونه‌های سنگی هم‌زمان با برداشت مغزه صورت گرفت. برای مطالعه کانی‌شناسی و تعیین نوع کانی‌ها (اصلی، فرعی و ثانویه)، بافت، نام سنگ و دیگر شواهد پتروگرافی، حدود ۲۵ مقطع نازک میکروسکوپی و ۵ مقطع صیقلی تهیه شد.

۱-۳. مقاطع نازک

بر اساس مطالعات سنگ‌شناسی مقاطع نازک، نوع سنگ‌های تشکیل‌دهنده توده گرانیتوئیدی گلپایگان عبارتند از: گرانیت میلونیتی شده (Mylonitic)، گرانیت، مسکویت، گرانیت دانه‌ریز کمی تجزیه شده، گرانیت پورفیری (Porphyry) کاتاکلاستی (Cataclastic) یا

می‌شود.

- ۲- اکسیدهای و هیدروکسیدهای ثانویه آهن: این کانی‌ها به میزان محدود و به شکل آغشته‌گی در سنگ میزبان و بیشتر درون کانی‌های سیلیکات و فضاهای مابین سایر دانه‌ها در مقاطع دیده می‌شود. (شکل ۲-ب).
- ۳- هماتیت: این کانی به صورت ذرات پراکنده، کریستال‌های سوزنی و تیغه‌ای به شکل جهت‌دار در مقاطع دیده می‌شود. (شکل ۲-ج).

- ۴- پیریت: این کانی به صورت تک‌دانه، دارای ابعاد تقریبی $30\text{--}40$ میکرون نیمه‌اتومorf و دگرسان نشده در مقاطع دیده می‌شود.

- ۵- ایلمینیت: این کانی به صورت کریستال‌های نیمه‌شکل‌دار و بی‌شکل با ابعاد تقریبی $30\text{--}200$ میکرون در مقاطع دیده می‌شود.

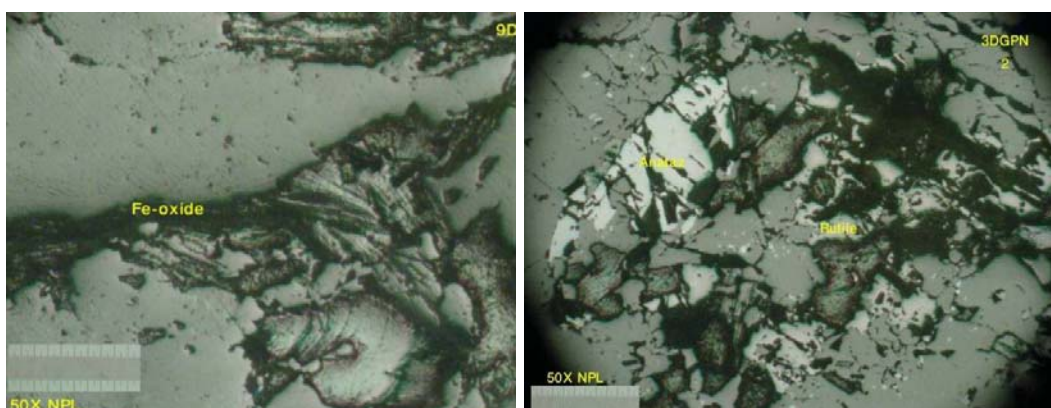
بررسی‌های نمونه ایستگاه ۲۴ نشان می‌دهد که ویژگی بارز این ایستگاه وجود کانی‌های کوارتزهای درشت بلور با خاموشی موجی است.

مطالعه نتایج از مقاطع نازک و بررسی بافت سنگ‌های آذرین، دگرگونی نشان می‌دهد که توده گرانیتی تنها متحمل دگرریختی شده است و هیچ‌گونه شواهد دگرگونی در آن مشاهده نمی‌شود.

۲-۳. مقاطع صیقلی

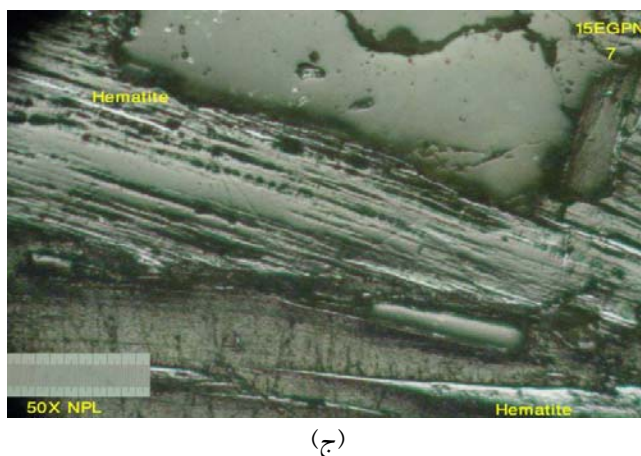
نتایج حاصل از مطالعات مقاطع صیقلی نشان می‌دهد که کانی فلزی موجود در نمونه‌ها عبارتند از:

- ۱- روئیل و آناتاز (Anatase and Rutile): این کانی‌ها به صورت کریستال‌های شکل‌دار و نیمه‌شکل‌دار با ابعاد تقریبی $40\text{--}200$ میکرون (شکل ۲-الف) در مقاطع دیده



(ب)

(الف)



(ج)

شکل ۲. (الف) روئیل و آناتاز، (ب) اکسید و هیدروکسیدهای آهن، (ج) هماتیت.

چون ماتریس متقارن است، بنابراین در آن $K_{ij} = K_{ji}$ می‌باشد. پس بنابراین مؤلفه‌های غیرقطري ماتریس همديگر را خشی می‌کنند. بنابراین داريم:

$$M_1 = K_{11} H_1, \quad M_2 = K_{22} H_2, \quad M_3 = K_{33} H_3$$

M_1, M_2, M_3 مقادير ويزه تansور هستند و به ترتيب با عالمات‌های K_{\min} و K_{\max} نشان داده می‌شوند (Tarling و Horrocks, 1993) بر همين اساس در مطالعات ناهمسانگردي مغناطيسی، پذيرفتاري مغناطيسی به صورت يك بخصوصی نمایش داده می‌شود که به يخصوصی مغناطيسی معروف است (شکل ۳).

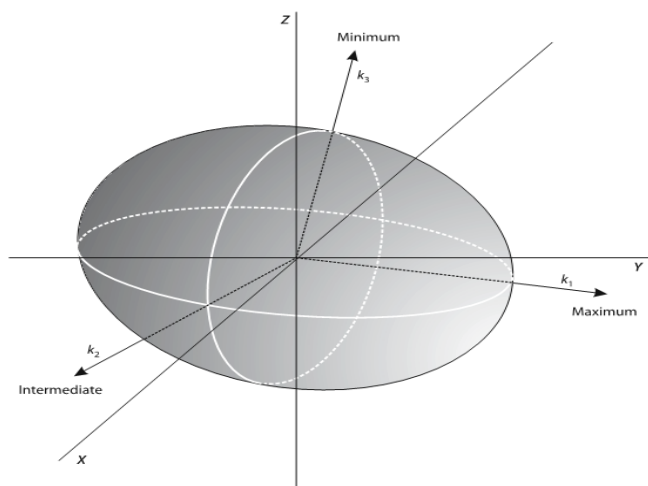
عموماً K_{\min} , K_{\max} و K_{int} را به ترتيب به صورت K_1 , K_2 و K_3 نمایش می‌دهند. در عمل مقادير K_1 , K_2 و K_3 از نظر مقدار و جهت توسط ستگاه اندازه‌گيری تعين شده و در حافظه رايانيه متصل به آن ذخیره می‌شود. عموماً برای تعين جهت از آمارداده‌ای جهتی که بر روی يك كره به شعاع واحد قرار دارند استفاده می‌شود. اين مقادير سپس برای تعين پارامترهای مورد نياز مورد استفاده قرار می‌گيرند. خطوارگی (Lineation) به صورت $L = \frac{K_1}{K_2}$ تعریف می‌شود که جهت آن (آزیموت و شب آن) توسط پارامتر K_1 تعین می‌شود. عموماً نمایشگر متصل به ستگاه داده‌ها را بر روی استريونت هم نمایش می‌دهد.

۴. ناهمسانگردي در پذيرفتاري مغناطيسی سنگ‌ها (AMS) در محاسبات ناهمسانگردي مغناطيسی، خواص مغناطيسی كل سنگ، از مجموع مغناطيس كل کانی‌های مغناطيس دار سنگ به دست می‌آيد. به عبارتی می‌توان گفت ناهمسانگردي پذيرفتاري مغناطيسی يك سنگ حاصل جهت‌يابی ناهمسانگر (Anisotropic) کانی‌های مغناطيس دار در سنگ‌ها می‌باشد.

با قرارگرفتن نمونه در ميدان مغناطيسی، گشتاورهای مغناطيسی حوضه‌ها موازي با جهت ميدان القابي جهت‌گيری می‌کنند و مغناطيس شدگی القابي در نمونه ايجاد می‌شود.

شدت مغناطيس شدگی يا مغناطش (M) به شدت ميدان مغناطيس کننده اعمال شده بر جسم (H) بستگي دارد و رابطه خطى $M=KH$ در بين آنها برقرار می‌باشد. اما اگر ماده ناهمسانگر باشد، K توسط مجموعه‌اي از ثابت‌های K_{ij} نشان داده می‌شود. اين ثابت‌ها يك رابطه غيرخطى به صورت ماتریس با ضریب تansوری متقارن مرتبه دوم را تشکیل می‌دهند. پس رابطه به صورت زیر تعریف می‌شود (Tarling و Horrocks, 1993).

$$\begin{bmatrix} M_1 \\ M_2 \\ M_3 \end{bmatrix} = \begin{bmatrix} K_{11} & K_{12} & K_{13} \\ K_{21} & K_{22} & K_{23} \\ K_{31} & K_{32} & K_{33} \end{bmatrix} \begin{bmatrix} H_1 \\ H_2 \\ H_3 \end{bmatrix} \quad (1)$$



شکل ۳. تصویر يخصوصی مغناطيسی، يخصوصی افقی را يخصوصی كلوچه‌ای و يخصوصی عمودی را يخصوصی دوکی یا سیگاری می‌نامند (لانزا و ملونی، ۲۰۰۶).

همچنین در نقشه کنتوربندی شب و جهت خطوارگی مغناطیسی توده (شکل ۶)، شب و جهت این مناطق به ترتیب $261/44$ ، $38/79$ و $22/17$ می‌باشد که ممکن است شب تقریبی 79 درجه در ایستگاه 12 (غرب توده گلپایگان) نشانگر منشأ توده گلپایگان باشد. همچنین شب کم 17 درجه خطوارگی مغناطیسی در منطقه ایستگاه 17 نشانگر سیل بودن توده در این منطقه است. جهت خطوارگی مغناطیسی محاسبه شده برای ایستگاه 17 در خلاف جهت ایستگاه 8 می‌باشد که احتمالاً نشانگر رویداد گسلش در این منطقه می‌باشد.

با بررسی شدت خطوارگی مغناطیسی، شب و جهت‌های بدست آمده برای کل نمونه‌های برداشت شده از توده گلپایگان به این نتیجه می‌رسیم که بالا آمدگی ماگما می‌تواند در دو مرحله رخ داده باشد. در مرحله اول ماگمای گرانیتی اصلی به سمت بالا صعود کرده و در مرحله دوم یک ماگمای گرانیتی دیگری با روند تقریبی شمال غرب-جنوب شرق در داخل توده اصلی نفوذ کرده است (شکل ۶).

در مرحله اول (ناحیه ۱ در شکل ۵)، جهت‌های بدست آمده خطوارگی مغناطیسی در قسمت‌های شمال، شمال شرق، جنوب شرق و جنوب، به سمت جنوب غرب توده گلپایگان بوده در حالی که جهت‌های قسمت غرب این ناحیه به سمت جنوب شرق توده می‌باشند. بنابراین جهت توده گلپایگان در مرحله اول به صورت همگرا با روندهای شمال غرب-جنوب شرق و شمال شرق-جنوب غرب بوده که بیانگر جای گیری قارچی شکل توده می‌باشد.

در مرحله دوم (ناحیه ۲ در شکل ۵) توده گلپایگان جهت همگرا دارد با این تفاوت که قسمت شرق منطقه دارای جهت غربی و قسمت غرب منطقه دارای جهت شرقی می‌باشد.

جهت‌های بدست آمده برای ایستگاه‌های اطراف گسل در هر دو ناحیه از روند جهت‌های دیگر نواحی 1 و 2 تبعیت نمی‌کنند و جهت‌های شرق گسل به سمت شرق توده گلپایگان و جهت‌های غرب گسل به سمت غرب

در واقع پارامتر خطوارگی از نظر جهت نحوه جهت گیری بیضوی پذیرفتاری مغناطیسی را تعیین می‌نماید (شکل ۳). در این مطالعه از مقادیر اندازه کمیت L برای نمایش شدت خطوارگی و از جهت K_1 برای نمایش آزمیث و شب خطوارگی استفاده شده است. همچنین برگوارگی با پارامتر $F = \frac{K_2}{K_3}$ تعریف می‌شود که K_2 بیانگر جهت برگوارگی است که دارای آزمیث و شب است. شدت برگوارگی با اندازه F تعیین می‌شود. در مورد تعیین درجه ناهمسانگردی و پارامتر شکل هم روابط ویژه‌ای وجود دارد که در بخش مربوطه تعریف شده‌اند. لازم به ذکر است که مقادیر کمیت‌های K_1 ، K_2 و K_3 استخراج شده از دستگاه اندازه گیری بدون هیچ گونه پردازشی توسط کاربر مورد استفاده قرار گرفته‌اند.

۱-۴. تجزیه و تحلیل نتایج حاصل از اندازه گیری‌های ناهمسانگردی مغناطیسی نمونه‌ها

۱-۴-۱. تفسیر نقشه خطوارگی (Lineation) مغناطیسی (L)

شکل بیضوی بر اساس اختلاف بین محورهای آن بیان می‌شود که معروف‌ترین آنها پارامتر L است که خطوارگی شکل بیضوی مغناطیسی را توصیف می‌کند (رابطه ۲) (بالسلی و بودینگتن، ۱۹۶۰).

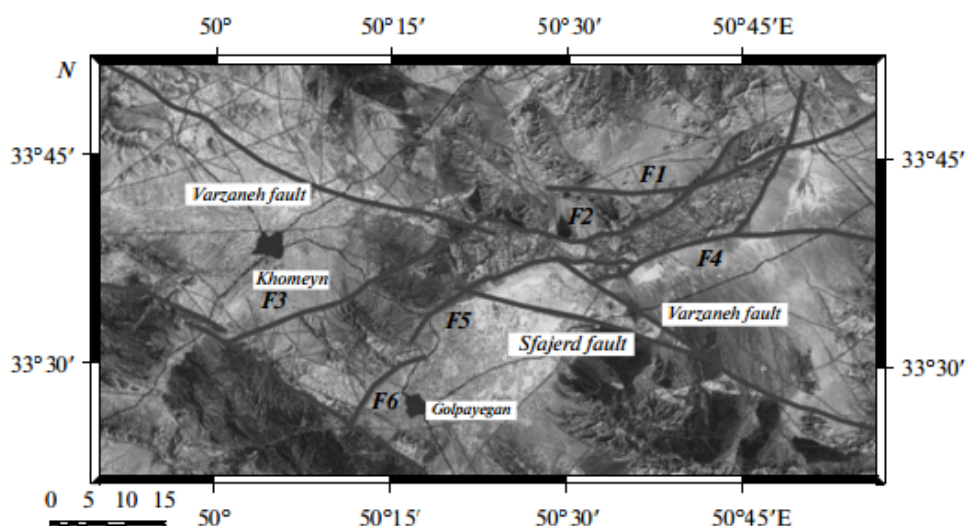
$$L = \frac{K_1}{K_2} \quad (2)$$

در رسم نقشه‌های خطوارگی مغناطیسی از نماد (۱) که معرف خطوارگی مغناطیسی در هر ایستگاه است استفاده می‌شود. با رسم نقشه شدت و شب خطوارگی‌های مغناطیسی و بهنمایش درآوردن تغییرات آن به صورت کنتور شدت و شب خطوارگی (شکل‌های ۵ و ۶)، تفسیرهای مربوطه آسان‌تر صورت می‌گیرد.

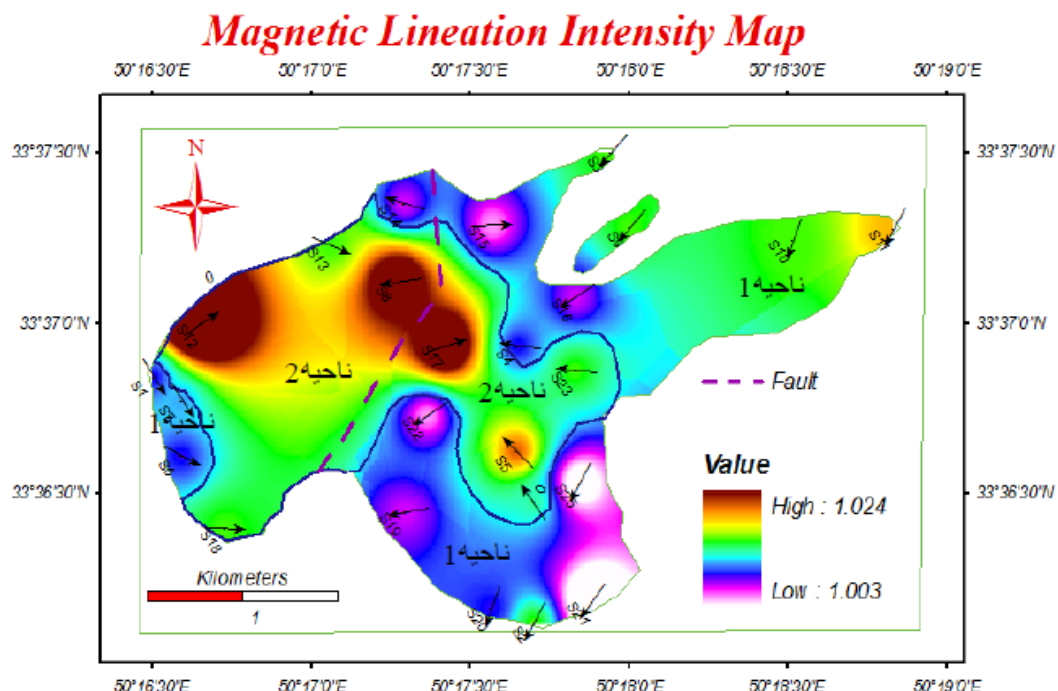
شدت خطوارگی مغناطیسی بیانگر شدت به خط‌شده‌گی گشتوارهای مغناطیسی نمونه‌ها می‌باشد. با توجه به نقشه کنتوربندی شدت خطوارگی مغناطیسی (شکل ۵)، شدت ایستگاه‌های 8 و 17 بیشترین مقادیر را دارا می‌باشند.

خود قرار داده است. گسل دیگر این منطقه، گسل اسفجرد با راستای شمال غرب - جنوب شرق می‌باشد. وجود این گسل‌ها همان‌گونه که بیان شد توسط مطالعات ناهمسانگردی در پذیرفتاری مغناطیسی هم به اثبات رسیده است. کریمی و همکاران همچنین یک فرآیند سه مرحله‌ای برای جای‌گیری توده‌های آذرین منطقه شمال گلپایگان در نظر گرفته‌اند.

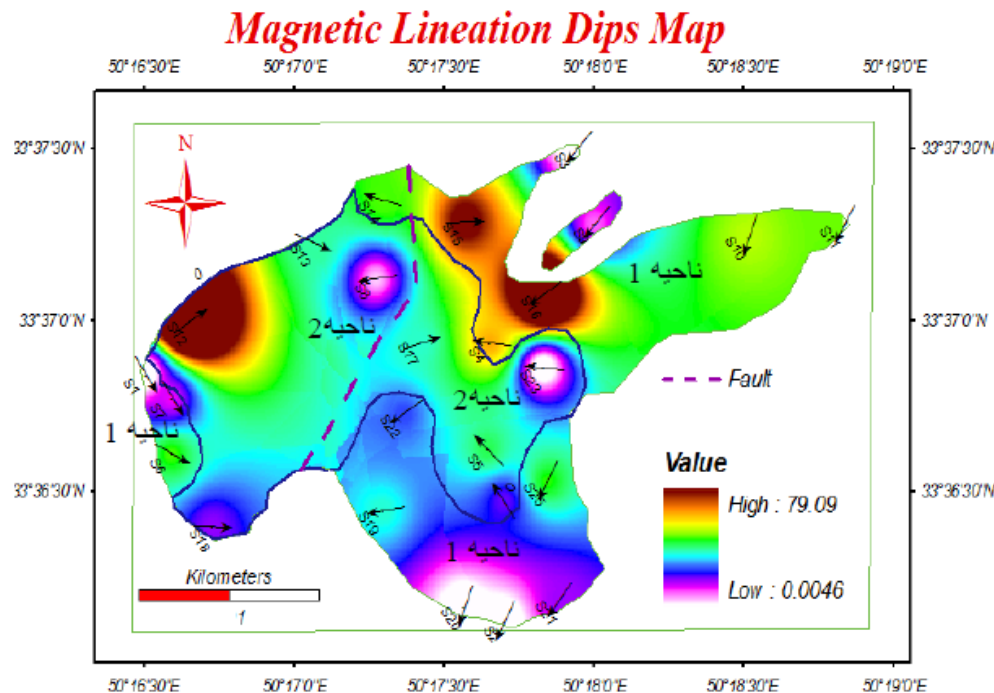
توده می‌باشد. همچنین مطالعات کریمی و همکاران (کریمی و همکاران، ۲۰۱۲) نشان می‌دهد که منطقه شمال و شمال شرق گلپایگان بهشدت تکتونیزه و دارای گسل‌های فراوانی می‌باشد (شکل ۴). همان‌گونه که شکل ۴ نشان می‌دهد گسل‌های F_5 ، F_6 و F_4 با راستای شمال شرق - جنوب غرب بهشدت منطقه شمال گلپایگان را تحت تأثیر



شکل ۴. گسل‌های مهم در شمال شرق گلپایگان (کریمی و همکاران، ۲۰۱۲).



شکل ۵. نقشه پریندی تغییرات شدت خطوارگی مغناطیسی (این مطالعه).



شکل ۶. نقشه پریندی تغییرات شب خطوارگی مغناطیسی (این مطالعه).

است (رابطه ۴) (نگاتا، ۱۹۶۱). همچنین مقادیر K_1 و K_3 در ارتباط با عواملی مانند اندازه کانی‌های مغناطیسی و چگونگی آرایش آنها است (هارگراوس و همکاران، ۱۹۹۱؛ استفسن، ۱۹۹۴؛ گری گوری و همکاران، ۱۹۹۵). هرچه تفاوت پذیرفتاری مغناطیسی در امتداد محورها بیشتر باشد درجات ناهمسانگردی بیشتر می‌شود (رابطه ۴).

$$P = P_2 = \frac{K_1}{K_3} \quad (4)$$

دامنه تغییرات ناهمسانگردی مغناطیسی منطقه مورد مطالعه از $0/1$ تا $1/1$ درصد (شکل ۹) تغییر می‌کند. با توجه به نقشه پریندی ناهمسانگردی مغناطیسی می‌توان گفت که در قسمت شرق گسل مقدار ناهمسانگردی از شمال به جنوب افزایش می‌یابد. هرچه از گسل به سمت شمال غرب پیش رویم مقدار درصد ناهمسانگردی مغناطیسی افزایش می‌یابد. در حالت کلی شدت ناهمسانگردی مغناطیسی در بخش غربی منطقه بیشتر از شرق منطقه توده می‌باشد (شکل ۹).

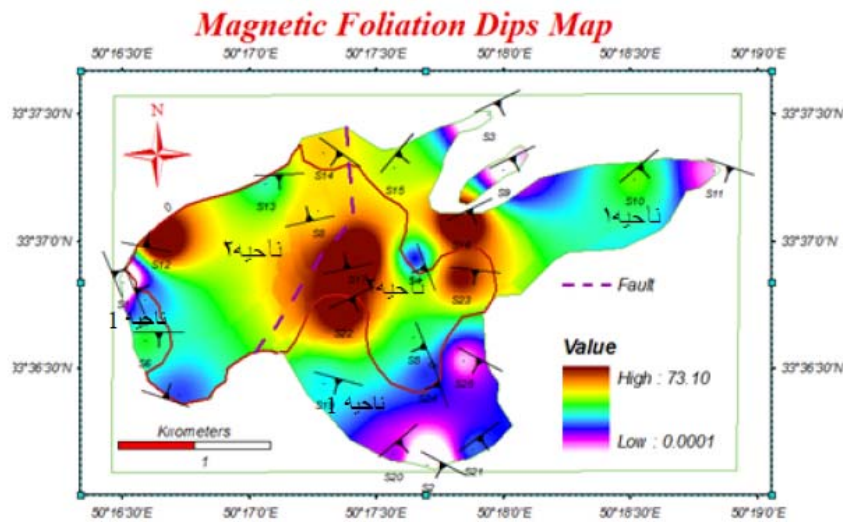
۲-۲. تفسیر نقشه برگوارگی (Foliation) مغناطیسی (F) پارامتر F، برگوارگی شکل بیضوی مغناطیسی را توصیف می‌کند (رابطه ۳) (خان، ۱۹۶۲).

$$F = \frac{K_2}{K_3} \quad (3)$$

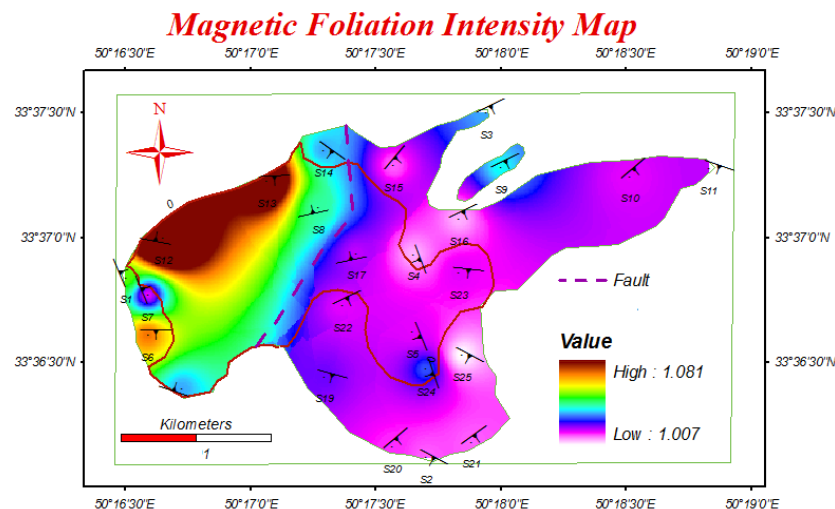
در رسم نقشه‌های برگوارگی مغناطیسی از نماد استفاده می‌شود. با به نمایش درآوردن تغییرات برگوارگی‌های مغناطیسی به صورت کنتور بنده شدت و شب برگوارگی‌ها (شکل ۶ و شکل ۷)، تفسیرهای مربوطه بسیار آسان‌تر صورت می‌گیرد.

نقشه اطلاعات برگوارگی‌های مغناطیسی (شکل ۷) نشان می‌دهد که در مناطق مرکزی منطقه مورد مطالعه، شب برگوارگی مغناطیسی زیادتر از مناطق حاشیه می‌باشد. همچنین غرب گسل از شدت برگوارگی مغناطیسی بیشتری برخوردار می‌باشد (شکل ۸).

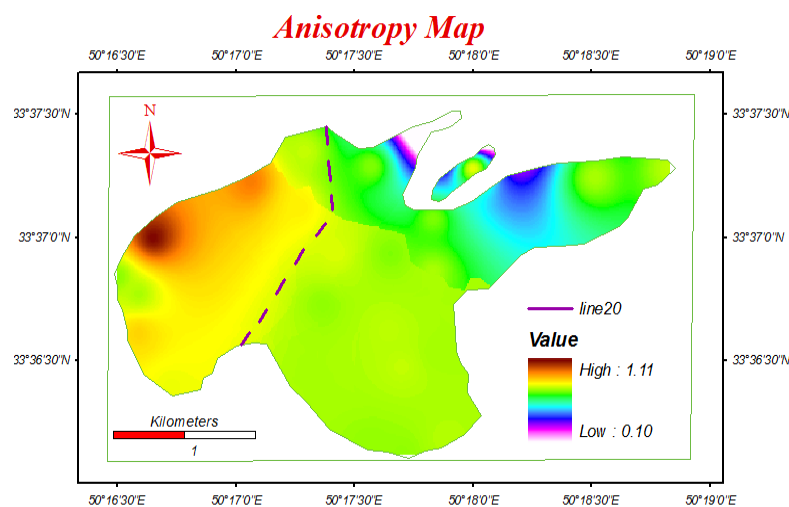
۲-۳. تفسیر نقشه درصد ناهمسانگردی مغناطیسی (P) درجه ناهمسانگردی مغناطیسی، رابطه بین K_1 و K_3



شکل ۷. نقشه پریندی تغییرات شیب برگوارگی مغناطیسی (این مطالعه).



شکل ۸. نقشه پریندی تغییرات شدت برگوارگی مغناطیسی (این مطالعه).



شکل ۹. نقشه پریندی درصد ناهمسانگردی مغناطیسی (این مطالعه).

مقادیر مثبت برخوردار است که نشانگر بشقابی یا پهن بودن شکل بیضوی مغناطیسی است (شکل ۱۰).

۵. تفسیر منحنی‌های حاصل از داده‌های آزمایش کانی‌شناسی

کانی‌های فرومغناطیس موجود در یک نمونه را می‌توان با آزمایش ترمومغناطیسی در یک میدان قوی ثابت تعیین نمود. در این آزمایش، مغناطیدگی یک نمونه به طور پیوسته با افزایش دما و در حضور یک میدان مغناطیس قوی اندازه‌گیری می‌شود. بر اساس نتایج اندازه‌گیری، منحنی پذیرفتاری مغناطیسی بر حسب دما ترسیم شده و با توجه به تغییرات پذیرفتاری مغناطیسی، کانی‌های مغناطیسی سنگ قابل تشخیص می‌باشد (جدول ۱).

معمولًاً این آزمون را به صورت رفت (افزایش دما) و برگشت (کاهش دما) انجام می‌دهند که هر تغییر در پذیرفتاری مغناطیسی نشانگر کانی خاص می‌باشد. اگر این تغییرات در مراحل رفت و برگشت با هم یکی نباشند، نشانگر تغییرات شیمیایی در نمونه خواهد بود که در حین حرارت رخ داده است.

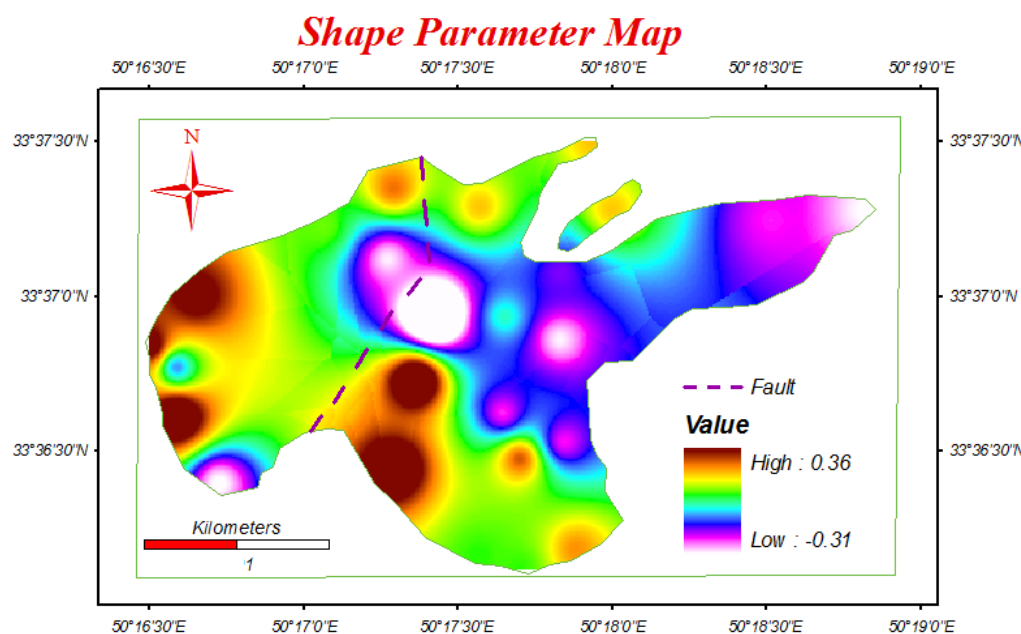
۱-۴. نقشه پارامتر شکل بیضوی مغناطیسی (T)

معروف‌ترین پارامتر در ناهمسانگردی مغناطیسی، پارامتر شکل T است که به توصیف شکل بیضوی مغناطیسی می‌پردازد (رابطه ۵):

$$T = \frac{2(\eta_2 - \eta_3)}{(\eta_1 - \eta_3)} - 1 \quad , \quad \begin{cases} \eta_1 = \ln(k_1) \\ \eta_2 = \ln(k_2) \\ \eta_3 = \ln(k_3) \end{cases} \quad (5)$$

اگر $-1 < T < 0$ باشد بیضوی مغناطیسی حاصل به‌شکل دوکی، سیگاری و کشیده (Prolate) درمی‌آید. در این حالت $K_2 \geq K_1 > K_3$ است. اگر $0 < T < 1$ قرار گیرد شکل حاصل کلوچه‌ای و بشقابی (Oblate) خواهد بود. در حالتی که $T = 0, p = p_J$ باشد شکل بیضوی به صورت کره خواهد بود (جلینک، ۱۹۸۱؛ هورادا، ۱۹۸۲).

با توجه به مقادیر شکل بیضوی مغناطیسی ($-0.3 < T < 0.3$) و بررسی‌های نقشه پریندی پارامتر شکل بیضوی مغناطیسی می‌توان گفت که از شمال شرق تا مناطق مرکزی توده، مقدار T منفی است که بیانگر دوکی شکل بودن بیضوی‌های مغناطیسی می‌باشد و در بقیه مناطق، T از



شکل ۱۰. نقشه پریندی شکل بیضوی (این مطالعه).

جدول ۱. دمای کوری و دمای نیل کانی‌های فرومغناطیسی (مریل و همکاران، ۱۹۹۶).

| Mineral | Composition | Magnetic state | $M_s \times 10^3 (A/m)$ | $T_c (^0C)$ |
|------------|---------------------------|---|-------------------------|---------------|
| Magnetite | Fe_3O_4 | Ferrimagnetic | 476 | 580 |
| Ulvospinel | Fe_2TiO_4 | Antiferromagnetic | ----- | -150 |
| Hematite | $xFe_2O_3 (Hexagonal)$ | Antiferromagnetic with a parasitic ferromagnetism | ≈ 2.2 | ≈ 680 |
| Ilmenite | $FeTiO_3$ | Antiferromagnetic | ----- | -233 |
| Maghemite | γFe_2O_3 | Ferrimagnetic | 426 | ≈ 600 |
| Pyrrhotite | $Fe_{1-x}S (0 < x < 1/7)$ | Ferrimagnetic | 90 | ≈ 320 |
| Trolite | FeS | Antiferromagnetic | ----- | ≈ 305 |
| Jacosite | $MnFe_2O_4$ | Ferrimagnetic | 424 | ≈ 300 |
| Goethite | $xFeOOH$ | Antiferromagnetic with a parasitic ferromagnetism | $\approx 2(?)$ | ≈ 120 |
| Iron | Fe | Ferromagnetic | 1714 | 770 |
| Cobalt | Co | Ferromagnetic | 1422 | 1131 |
| Nickel | NI | Ferromagnetic | 484 | 358 |
| Awaruite | Ni_3Fe | Ferromagnetic | 950 | 620 |
| Wairauite | CoFe | Ferromagnetic | 1936 | 986 |

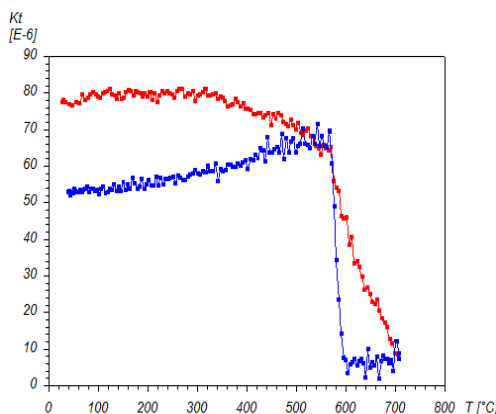
در شکل ۱۱-ب، فرآیند گرم کردن نشانگر وجود مگنتیت و هماتیت در نمونه سنگی برداشت شده می‌باشد. فرآیند گرم کردن باعث تغییرات شیمیایی در بافت نمونه شده است لذا در فرآیند سرد شدن، هماتیت به مگنتیت تبدیل شده است.

در شکل ۱۲، فرآیند گرم کردن نشانگر وجود مگنتیت و هماتیت در نمونه سنگی برداشت شده می‌باشد ولی در فرآیند سرد شدن، بهدلیل تغییرات شیمیایی هماتیت به مگنتیت و تیتانومگنتیت (Titanomagnetite) (Tb) تبدیل شده و در دمای تقریباً ۳۰۰ تا ۴۸۰ درجه سانتی گراد پدیده تغییرات کریستالی در بافت نمونه رخ داده است.

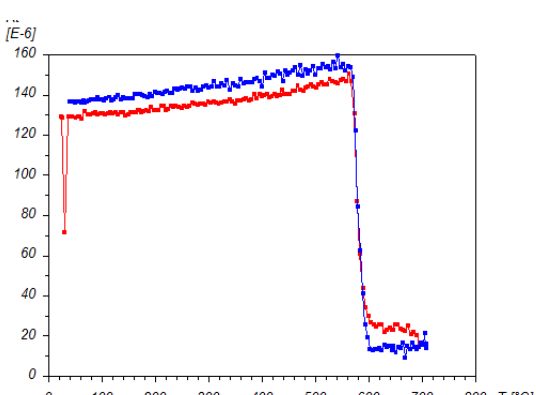
۱-۵. برگزیده‌ای از منحنی‌های حاصل از داده‌های آزمایش کانی‌شناسی

در نمودارهای ترسیم شده، منحنی آبی رنگ بیانگر مرحله سرد شدن (Cooling) و منحنی قرمز رنگ بیانگر مرحله گرم شدن (Warming) نمونه است.

در شکل ۱۱-الف، افت شدید پذیرفتاری مغناطیسی در دمای حدود ۵۸۰ درجه سانتی گراد معروف حضور مگنتیت در نمونه سنگی برداشت شده می‌باشد (در هر دو فرآیند گرم کردن و سرد کردن) و بهدلیل اختلاف ناچیز دو منحنی، تغییرات شیمیایی خیلی ناچیز می‌باشد.

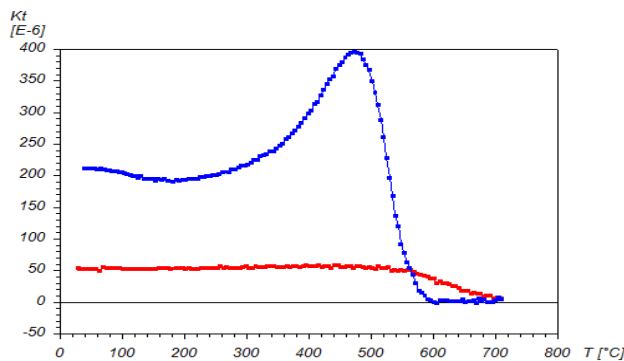


ب) کانی مغناطیسی باز موجود در این نمونه مگنتیت و هماتیت می‌باشد.



الف) کانی مغناطیسی باز موجود در این نمونه مگنتیت و هماتیت می‌باشد.

شکل ۱۱. نمودارهای پذیرفتاری مغناطیسی در مقابل دما که محور افقی بر حسب درجه سانتی گراد و محور قائم بر حسب SI است (این مطالعه).



شکل ۱۲. نمودار پذیرفتاری مغناطیسی در مقابل دما (محور افقی بر حسب درجه سانتی گراد و محور عمودی بر حسب SI است). فرآیند گرم کردن نشانگر وجود مگنتیت و هماتیت در نمونه سنگی برداشت شده می‌باشد و همچنین در فرآیند سرد شدن، افزایش پذیرفتاری مغناطیسی در دمای ۵۸۰ درجه نشانگر حضور مگنتیت در بافت نمونه می‌باشد (این مطالعه).

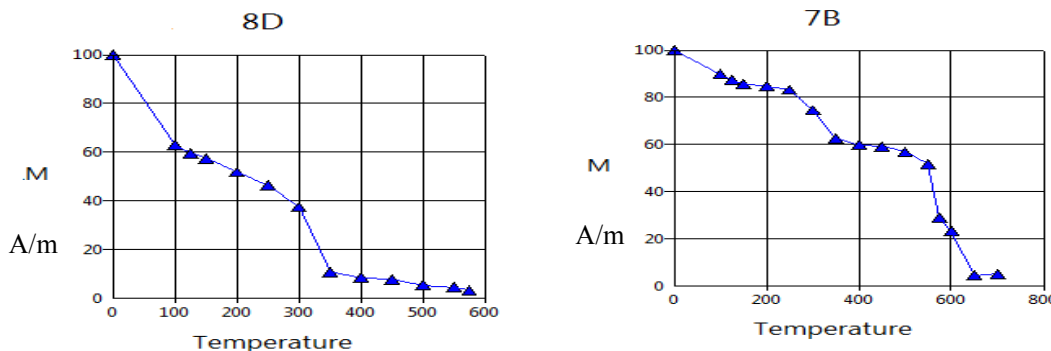
در این مطالعه نمونه‌ها را بعد از اشباع مغناطیسی (Magnetic Saturation)، در ۱۷ مرحله تا دمای ۷۰۰ درجه حرارت داده و بعد از هر مرحله، دوبار سرد کرده و پسماند مغناطیسی (Remanent Magnetisation) سپس منحنی نمونه‌ها توسط دستگاه مغناطیس سنج چرخشی (Spinner) اندازه گرفته می‌شود. سپس منحنی مغناطیدگی بر حسب دما ترسیم شده است. با اطلاع از روند تغییرات شدت مغناطیدگی با دما می‌توان کانی‌های مغناطیسی نمونه‌ها، سختی و نرمی مغناطیسی آنها را تعیین کرد.

تغییرات حاصله در دماهای تقریباً ۱۲۰، ۳۸۰، ۵۸۰ و ۷۰۰ درجه سانتی گراد به ترتیب معروف حضور گوتیت (Gothite)، پیروتیت (Pyrrhotite)، مگنتیت و هماتیت در نمونه‌ها است (شکل ۱۳).

بنابر نتایج حاصل از آزمایش دمای کوری، کانی‌های مغناطیسی تشکیل دهنده نمونه‌ها، اکثراً مگنتیت و هماتیت و به مقدار ناچیز تیتانومگنتیت (به دلیل تغییرات شیمیابی انجام گرفته در فرآیند سرد شدن) می‌باشد.

۲-۵. تفسیر منحنی‌های مغناطیس زدایی حرارتی

در روش مغناطیس زدایی حرارتی از این اصل که مواد مختلف موجود در یک جسم دارای دماهای قفل شدگی (Blocking Temperature) و کوری مختلف هستند استفاده شده است. به این ترتیب با گرمایش نمونه تا دمای مشخص و سپس سرد کردن نمونه در میدان مغناطیسی صفر می‌توان مغناطیدگی ناشی از موادی که دمای قفل شدگی آنها کمتر از حرارت اعمال شده است را از بین برد.



(الف) کانی مغناطیسی بارز موجود در این نمونه گوتیت، پیروتیت، مگنتیت و (ب) کانی‌های مغناطیسی بارز موجود در این نمونه گوتیت، پیروتیت و مگنتیت می‌باشد.

شکل ۱۳. نمودارهای مغناطیدگی دو نمونه از سایت ۷ (الف) و سایت ۸ (ب) در مقابل دما که محور افقی بر حسب درجه سانتی گراد و محور عمودی بر حسب آمپر بر متر است (این مطالعه).

شمال‌غرب-جنوب شرق دارند در حالی که حاشیه‌های شمال، شمال شرق، جنوب، جنوب شرق و جنوب غرب، روند شمال شرق-جنوب غرب دارند. در نتیجه جهت جای‌گیری توده در مرحله اول روند شمال‌غرب-جنوب شرق و شمال شرق-جنوب غرب می‌باشد. جهت‌های دو ایستگاه در شمال منطقه با موقعیت‌های $50^{\circ}/288$ درجه طول جغرافیایی، $33^{\circ}622$ درجه عرض جغرافیایی و $50^{\circ}292$ درجه طول جغرافیایی، $33^{\circ}621$ درجه عرض جغرافیایی از روند کلی منطقه تعیت نمی‌کنند. در مرحله دوم، توده در امتداد شمال غرب-جنوب شرق به داخل توده مرحله اول نفوذ کرده است. در این مرحله هم‌جهت دو ایستگاه به موقعیت‌های $50^{\circ}287$ درجه طول جغرافیایی، $33^{\circ}618$ درجه عرض جغرافیایی و $50^{\circ}290$ درجه طول جغرافیایی، $33^{\circ}615$ درجه عرض جغرافیایی از جهت‌های دیگر تعیت نمی‌کنند. ۴ ایستگاه فوق در راستای هم قرار دارند. پس می‌توان به این نتیجه رسید که در این منطقه احتمالاً بعد از صعود ماگما به سمت بالاگسلش اتفاق افتاده و موجب تغییر جهت‌ها شده است. نتایج حاصل از بررسی مطالعات مقاطع نازک توده گلپایگان نیز وجود گسل احتمالی در این منطقه را نشان می‌دهد. وجود زون دگر ریخت (Deformation zone) و گسل‌هایی با راستاهای مختلف در منطقه مورد مطالعه توسط محققین گزارش شده است. همچنین جای‌گیری توده آذرین در منطقه گلپایگان در چند مرحله نیز توسط محققین مورد تأیید قرار گرفته است.

۲- نتایج حاصل از انجام آزمایش دمای کوری نشان می‌دهد که در حین گرم کردن تا دمای 700 درجه سانتی‌گراد در حضور گاز آرگون، در دماهای حدوداً 300 تا 400 درجه سانتی‌گراد، در بافت نمونه‌ها تغییرات کریستالی رخ داده است و افت پذیرفتاری مغناطیسی از دمای 580 تا 700 درجه سانتی‌گراد نشانگر حضور کانی‌های مغناطیسی مگنتیت و هماتیت در بافت نمونه‌های توده گلپایگان است. در طی فرآیند سرد شدن، منحنی‌ها نشان می‌دهند که کانی‌های مغناطیسی موجود اکثراً

۶. تجهیزات به کار گرفته شده در این تحقیق

- ۱- دستگاه پذیرفتاری سنج مغناطیسی مدل MFK1-A ساخت شرکت آجیکو (Agico) (کشور جمهوری چک)، برای اندازه‌گیری پذیرفتاری مغناطیسی نمونه‌ها مورد استفاده قرار گرفته است. برای اندازه‌گیری دمای کوری کانی‌ها نیز از دستگاه CS-3 که از ملحقات MFK1-A می‌باشد، استفاده شد که در این دستگاه از نمونه‌های سنگی پودر شده استفاده می‌شود.
- ۲- دستگاه مغناطیسی سنج چرخشی (Dual Speed Spinner Magnetometer) مدل JR-6A، یکی دیگر از دستگاه‌هایی که در این پژوهش مورد استفاده قرار گرفته که برای اندازه‌گیری مغناطیس نمونه‌ها استفاده شد.
- ۳- دستگاه اشباع مغناطیسی همدما pulse magnetizer Measurement مدل MMPM10 ساخت شرکت Magnetic Isothermal (کشور انگلستان)، برای اندازه‌گیری پسماند مغناطیسی هم‌دمای نمونه‌ها یا همان IRM (Remanente Magnetization) استفاده شد.
- ۴- دستگاه مغناطیس زدایی گرمایی Thermal (Demagnetizer) مدل MMTD80 ساخت شرکت Magnetic Measurement، که برای از بین بردن معناطش نمونه‌ها توسط حرارت اعمال شده استفاده می‌شود.

۷. بحث و نتیجه‌گیری

- ۱- با توجه به بررسی‌ها و شواهد صحرایی، پتروگرافی، بررسی مقادیر ناهمسانگردی پذیرفتاری مغناطیسی (وضعیت خطواره‌ها و برگواره‌های مغناطیسی)، به نظر می‌رسد که توده نفوذی گلپایگان در دو مرحله به سمت بالا صعود کرده است. مرحله اول شامل حاشیه‌های شمال، شمال شرق، جنوب، جنوب شرق و جنوب غرب توده است. مرحله دوم شامل حاشیه شمال غرب و قسمت‌های مرکزی توده می‌باشد. شکل احتمالی جای‌گیری توده گرانیتی گلپایگان در هر دو مرحله قارچی شکل می‌باشد. جهت خطوارگی‌های مغناطیسی جنوب غرب توده، روند

تشکیل دهنده این توده گرانیتی عبارتند از: مسکویت، کانی رسی، سریسیت، اکسید آهن، کلریت و لوکوکسن، همچنین کانی های کدر آپاتیت، زیرکن، تورمالین و اسفن از جمله کانی های فرعی این توده هستند.

۶- نتایج حاصل از بررسی مطالعات مقاطع صیقلی نمونه ها نشان می دهد که نوع کانی های آهنج موجود در بافت توده گرانیتوئیدی گلپایگان عبارتند از: روتیل و آناتاز و اکسیدهای و هیدروکسیدهای ثانویه آهن و ایلمنیت و هماتیت و پیروتیت.

تشکر و قدردانی

در پایان از معاونت محترم سازمان زمین شناسی، دکتر محمدرضا قاسمی و ریاست امور زمین شناسی منطقه ای سازمان زمین شناسی، دکتر جلیل قلمقاش، به خاطر فراهم نمودن امکان استفاده از آزمایشگاه محیط و دیرینه مغناطیسی، کمال تشکر و قدردانی را داریم. هم چنین از زحمات و راهنمایی های دکتر محمود صادقیان، دکتر محمدرضا شیخ‌الاسلامی، مهندس جعفر صبوری، خانم مهندس فریده حلمی و مهندس صدیقه صحبت و همکاری صمیمانه همکاران خانم مریم اسدی، آقای محمد پاک‌نیا و آقای مهدی صلاتی تشکر و قدردانی می نماییم.

مراجع

- اطلس راههای ایران، ۱۳۸۹، موسسه جغرافیایی و کارت‌توگرافی گیتاشناسی.
- شیخ‌السلامی، م.، ۱۳۸۴، نقشه زمین شناسی محلات، ۱/۱۰۰۰۰۰، انتشارات سازمان زمین شناسی کشور.

- Balsley, J. R. and Buddington, A. F., 1960, Magnetic susceptibility anisotropy and fabric of some Adirondack granites and orthogneiss, American Journal of Science, 258-A, 6-20.
- Bouchez, J. L., 1997, Granite is never isotropic: an introduction to AMS studies of granitic rocks , In J. L. Bouchez. D.
- Edgardo, C. T., Irene, M. and Rapsoo, B., 2017, Anisotropy of magnetic susceptibility of silicic rocks from quarries in the vicinity of

مگنتیت و تیتانومگنتیت (Titanomagnetite) است. در واقع کانی هماتیت در فرآیند سرد شدن به کانی مغناطیسی دیگری تبدیل شده است. بنا به نتایج آزمایشات مغناطیسی و سنگ‌شناصی، می‌توان توده گلپایگان را از نوع A یا I معرفی کرد.

۳- نتایج حاصل از آزمایش مغناطیس زدایی گرمایی نشان می دهد که در اکثر نمونه ها، در سه دمای تقریبی ۱۲۰، ۳۳۰، ۵۸۰ درجه سانتی گراد افت مغناطیسی رخ داده است که اولی به دلیل وجود کانی مغناطیسی گوئتیت و دومی وجود کانی مغناطیسی پیروتیت و سومین افت نشانگر وجود کانی مغناطیسی مگنتیت است. در بافت بعضی از نمونه ها، کانی مغناطیسی هماتیت هم وجود دارد. نتایج مغناطیس زدایی حرارتی اندازه گیری شده، بیانگر وجود کانی های مغناطیسی گوئتیت، پیروتیت، مگنتیت، هماتیت در بافت توده گلپایگان است.

۴- داده های شدت ناهمسانگردی مغناطیسی نشان می دهد که در بخش غربی گسل محتمل در توده گلپایگان، شدت ناهمسانگردی مغناطیسی بیشتر از مناطق شرقی گسل است.

۵- نتایج حاصل از مطالعات مقاطع نازک نمونه ها نشان می دهد که نوع سنگ های تشکیل دهنده توده گرانیتوئیدی گلپایگان عبارتند از: گرانیت میلونیتی شده، گرانیت، مسکویت، گرانیت دانه‌ریز کمی تجزیه شده، گرانیت پورفیری کاتاکلازیتی یا میلونیتی، گرانیت دو میکا آهن دار شده، گرانیت پورفیری کمی تکتونیزه، گرانیت تورمالین دار و گرانیت پورفیری کمی تجزیه شده است. بافت این سنگ ها پورفیری، هتروگرانولار یا میکروگرانولار، پرتیتی، گرافیکی، گرانولار و کاتاکلاستیک با زمینه ساروجی است. کانی های ثانویه

Guimaraes, L. F., Raposo, M.I.B., Janasi, V. A., Canon-Tapia, E. and Polo, L. A., 2018, An AMS study of different silicic units from southern Parana- Etendeeks magmatic province in Brazil: Implications for the identification of flow directions and local sources, Journal of volcanology and geothermal research, Vol.355, 304-318.

Gregoire, V., de Saint- Blanquat, M., Nedelev, A. and Bouchez, J. L., 1995, Shape anisotropy

- versus magnetic interactions of magnetite grains: experiments and application to AMS in granitic rocks, *Geophys. Res. Letters*, 22, 2765-2768.
- Hargraves, R. B., Johnson, D. and Chan, C. Y., 1991, Distribution anisotropy: the cause of AMS in igneous rocks, *Geophys. Res. Lett.*, 18, 2193-2196.
- Horuda, F., 1982, Magnetic anisotropy of rocks and its application in geology and geophysics, *Geophys. Surveys* 5, 37-82.
- Jelink, V., 1981, Characterization of the magnetic fabrics of rocks, *Tectonophysics*, 79, 63-67.
- Karimi, S. M., Tabatabaei Manesh, H., Safaei, H., and Sharifi, M., 2012, Metamorphism and deformation of golpayegan metapelitic rocks, Sanandaj-Sirjan Zone, Iran, *Petrology*, Vol.20, No.7, 658-675.
- Khan, M. A., 1962, The Anisotropy of magnetic susceptibility of some igneous and metamorphic rocks, *J. Geophys. Res.*, 67, 2873-85.
- Lanza, R. and Meloni, A., 2006, The earth magnetism: An Introduction for geologists, Springer.
- Merrill, R. T., MacElhinny, M. W., Macfadden, P. L., 1996, The Magnetic Field of the Earth, Academic Press.
- Mollier, B. and Bouchez, J. L., 1982, Structuration magmatique du complexe granitique de Brame-St Sylvestre-St Goussaud Limousin, Massif Central francais). *C. R. Acad. Sci. Paris* 294II, 1329-1334.
- Nagata, T., 1961, Rock magnetism, Maruzen, Tokyo, 350.
- Rashidnejad, Omran N., Emami, M. H., Sbzehei, M., Rastad, E., Bellon, H. and Pigne, A., 2002, Lithostratigraphie et historie paleozoïques à Paleocene des complexes métamorphiques de la région de Muteh, Zone de Sanandaj-Sirjan (Iran méridional), *G.R.Geoscience*, 334, 1184-1191.
- Sadeghian, M., Bouchez, J. L., Ne'de'lecb, A., Siqueirab, R. and Valizadeha, R., 2005, The Granite Pluton of Zahedan: a petrological and magnetic fabric study, *Journal of Asian Sciences*, 25, 301-277.
- Skytta, P., Hermansson, T., Elming, S. A. and Bauer, T., 2010, Magnetic fabrics as constraints on the kinematic history of a Pre-tectonic granitoid intrusion, Kritineberg, northern Sweden, *Journal of Structural Geology*, 32, 1125-1136.
- Stephenson, A., 1994, Distribution Anisotropy: two simple models for magnetic lineation and foliation, *J.Phys. Earth Planet. Inter.*, 82, 49-53.
- Tarling, D. H. and Hrouda, F., 1993, The magnetic Anisotropy of rocks, Chapman & Hall, London.

Investigation of replacement and flow direction of granitic body at Golpaygan region using anisotropy of magnetic susceptibility (AMS)

Mirzaei Hajibaghloo, S.¹, Alimohammadian, H.² and Oveisy Moakhar, M.^{3*}

1. M.Sc. Graduated, Department of Geophysics, Research and Science Branch, Islamic Azad University, Tehran, Iran

2. Ph.D. in Geophysics, Geological Survey & Mineral Exploration of Iran, Tehran, Iran

3. Assistant Professor, Department of Physics, Razi University, Kermanshah, Iran

(Received: 17 Jan 2018, Accepted: 1 Jan 2019)

Summary

The Golpaygan massive granite in the northern part of Golpaygan city is a part of Sanandaj – Sirjan zone. This granitic body has been intruded in surrounding metamorphosed schists of Paleozoic age. The Paleocene age (58 Ma) with K/Ar method has been assigned for this granite. Basalts, Porphyritic tuffs and Cataclastics volcanic rocks are the main rocks of this formation. The major minerals of the granite are Quartz, acidic to intermediate plagioclase (oligoclase, andesite) and orthoclases which occasionally show perititic texture. The micaceous minerals include biotite, muscovite and sericite. In order to study AMS of Golpayegan granite, 171 cores with 10 cm length and 2.5 cm diameter were collected with drilling portable machine. The dip and azimuth of the cores were measured with magnetic compass. Each core was cut to 22 mm length in the paleomagnetic laboratory of geological survey of Iran. Bulk samples were also collected in order to examine rocks petrographically and mineralogically. The polished thin sections show the following metallic minerals: Rutile and Anatase, Oxides and oxyhydroxides, Hematite, Pyrite and Ilmenite. Anisotropy of magnetic susceptibility (AMS) is defined as a second order tensor. Due to symmetry of nondiagonal components, only diagonal ones K_{33} , K_{22} , K_{11} remain which are named as K_{\max} , K_{\min} and K_{int} . Lineation intensity values show alignment of magnetic dipole moments of the specimens. This parameter is maximum for sites 8, 12 and 17. The dip and direction of lineation parameter of the above sites are 261.5/44, 38.2/79 and 22/17 respectively. The dip value of site 12, i.e. 79, may indicate place of the source of Golpayegan granite. The direction of lineation in sites 17 and 8 are opposite to each other which may indicate the existence of a fault in this area. The map of foliation parameter shows that in the central part of the study area, the dip of foliation has much more value than the surrounding area. The shape factor values are negative in the north east and center of the granite body which indicate prolate shape of magnetic susceptibility ellipsoid while in the other parts it is positive which means it is oblate. The AMS results also reveal that the study area can be divided in to two parts which have separate convergence directions. The diffusion directions may indicate mushroom type of the granite intrusion at two phases. The main mushroom type granitic body has intruded at the first phase and then in the second phase, another granitic body with the same pattern is injected into the main body. The AMS directions of the granite show northwest- southeast and northeast- southwest trends while at the center, they show on east-west trend. On the basis of the interpretation of total granitic body directions, we propose the existing of a probable fault with north-south trend at the center of the granite. The intensity of anisotropy of magnetic susceptibility at the western side of this fault is high in comparison to that of the eastern side. The occurrence of this fault can also be proved by petrological investigation and other studies. The susceptibility-temperature analysis of the granite rocks shows that magnetite and hematite are the main magnetic carriers which may indicate I or A type origin of this massive granite.

Keywords: AMS, Granite, Lineation, fault.

* Corresponding author:

moveisy9@gmail.com